

# Два метода прогнозирования временных рядов

Попов Сергей Альбертович, гр. 522

Санкт-Петербургский государственный университет  
Математико-механический факультет  
Кафедра статистического моделирования

Научный руководитель: к.ф.-м.н., доц. Голяндина Н.Э.  
Рецензент: к.ф.-м.н., доц. Некруткин В.В.



Санкт-Петербург  
2010г.

Наблюдается ряд  $F_N = (f_0, \dots, f_{N-1})$ .

$F_N = S_N + R_N$ , где  $S_N$  — «сигнал»,  $R_N$  — «шум».

Предполагаем:

- $S_N$  управляется ЛРФ.  $s_n = \sum_{i=1}^r a_i s_{n-i}$ ,  $n = r, \dots, N-1$
- $R_N$  — белый гауссовский шум

Задача: прогноз  $S_N$ , наблюдая  $F_N$

- отделение сигнала от шума
- идентификация структуры сигнала, т. е. оценивание  $r$  и  $(a_1, \dots, a_r)$

$$\hat{s}_N = \sum_{i=1}^r \hat{a}_i \hat{s}_{N-i}$$

Точность:  $\text{MSE} = \text{E}(\hat{s}_N - s_N)^2$

Задачи отделения сигнала и идентификации структуры сигнала решаются одновременно методом Singular Spectrum Analysis.

- Выбирается параметр  $1 < L < N$  («длина окна»).

$$F_N \xrightarrow{L} \mathbf{X} = \begin{pmatrix} f_0 & f_1 & \dots & f_{K-1} \\ f_1 & f_2 & \dots & f_K \\ \vdots & \vdots & \ddots & \vdots \\ f_{L-1} & f_L & \dots & f_{N-1} \end{pmatrix}, \quad \mathbf{X} = \mathbf{S} + \mathbf{R}$$

Пусть размерность минимальной ЛРФ управляющей сигналом  $= r$  ( $= \text{rank } \mathbf{S}$ ).

Пространство, натянутое на столбцы  $\mathbf{S}$  — подпространство сигнала ( $\mathcal{L}_r$ ).

- По  $\mathbf{X}$  оценивается базис подпространства сигнала  $\{P_i\}_{i=1}^r$
- $\hat{\mathcal{L}}_r = \text{span}(\hat{P}_1, \dots, \hat{P}_r)$  — оценка подпространства сигнала.
  - Восстановление: проектирование столбцов  $\mathbf{X}$  на  $\hat{\mathcal{L}}_r$
  - Оценка  $a_i$ : по  $\hat{\mathcal{L}}_r$

Два метода оценивания  $\mathcal{L}_r$

- Basic SSA  $\implies$  рекуррентный прогноз
- Toeplitz SSA  $\implies$  теплицев прогноз

Задачи:

- Сравнить точность прогнозирования двумя методами
- Выработать рекомендации по выбору оптимальных параметров для прогнозирования

Примеры:  $f_n = s_n + r_n$ , где

- $s_n = \cos(2\pi n/10)$
- $s_n = (0.999)^n \cos(2\pi n/10)$
- $s_n = (0.9999)^n \cos(2\pi n/10)$

$r_n = \varepsilon_n$ ,  $\varepsilon_n \approx N(0, \sigma^2)$  с  $\sigma = 0$  или  $\sigma = 0.1$ .

$N = 400$

Построение оценки базиса подпространства сигнала:

- Выбор длины окна  $L$ . Построение траекторной матрицы  $\mathbf{X}$ .
- Ортогональное разложение  $\mathbf{X} = \sum_{i=1}^L \sqrt{\lambda_i} P_i Q_i^T$ ,  $P_i \perp P_j$ 
  - Рекуррентный прогноз  $P_i$  — с. в. матрицы  $\mathbf{S} = \mathbf{X}\mathbf{X}^T$
  - Теплицев прогноз  $P_i$  — с. в. оцененной ковариационной матрицы  $\mathbf{C}$  с элементами

$$c_{kj} = \frac{1}{N - |k - j|} \sum_{m=0}^{N - |k - j| - 1} f_m f_{m + |k - j|}, \quad 1 \leq k, j \leq L,$$

- Оценивание подпространства сигнала

$$\hat{\mathcal{L}}_r = \text{span}(P_1, \dots, P_r)$$

В базовом варианте прогнозов берется одна и та же длина окна  $L$  для восстановления сигнала и для оценивания коэффициентов ЛРФ.

**Идея:** можно рассмотреть отдельно  $L_V$  и  $L_R$ .

# Применение прогноза к ряду без шума

Рассматривается ряд  $s_n = c^n \cos(2\pi\omega n)$ .

## Basic SSA

- Для  $\mathbf{S} = \mathbf{X}\mathbf{X}^T$  известно, что ранг матрицы  $\mathbf{S}$  равен 2.
- Собственные векторы  $\mathbf{X}$  — экспоненциально модулированные гармоники с частотой  $\omega$ .

## Toeplitz SSA

- Можно доказать, что в случае  $c = 1$  ранг оцененной ковариационной матрицы асимптотически равен двум.
- Вычислительные эксперименты показывают, первые два собственных вектора ковариационной матрицы асимптотически будут гармониками для рассматриваемых рядов.

$$f_n = c^n \cos(2\pi\omega n)$$

### Предложение

- $c = 1$  :  $\|\mathbf{C} - \tilde{\mathbf{C}}\|_2 \xrightarrow{K \rightarrow \infty} 0$ , где

$$\tilde{c}_{kj} = \frac{1}{2} \cos(2\pi\omega(k - j))$$

и матрица  $\tilde{\mathbf{C}}$  имеет ранг два

- $c < 1$  :  $\|N\mathbf{C} - \tilde{\mathbf{C}}\|_2 \xrightarrow{K \rightarrow \infty} 0$ , где

$$\tilde{c}_{kj} = \frac{1}{2} \left( \frac{1}{1 - c^2} + \frac{1}{1 - c^2 \cos(4\pi\omega)} \right) c^{|k-j|} \cos(2\pi\omega(k - j))$$

# План дальнейшего исследования

- рассматриваются два варианта прогнозирования: теплицев и рекуррентный
- $L_R, L_V$  — параметры прогнозов
- ищутся оптимальные параметры, прогнозы сравниваются при оптимальных параметрах
- рассматривается структура ошибки:  
$$\text{MSE}(\hat{S}_N, S_N) = \text{Var}(S_N) + (\text{Bias}(\hat{S}_N, S_N))^2$$
- рассматриваются источники ошибок



# Ошибки прогнозов без шума. $s_n = c^n \cos(2\pi n/10)$ .

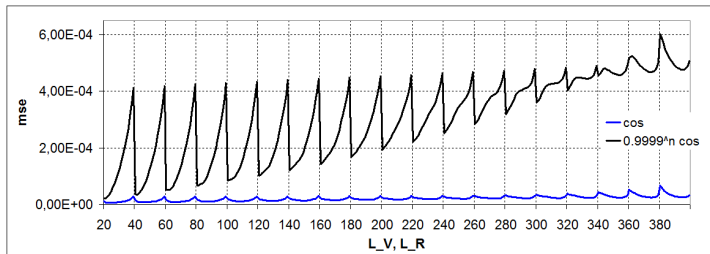


Рис.: Теплицев прогноз.  $c = 1$  и  $c = 0.9999$ .

- MSE тепл.  $>$  MSE рекурр. ( $= 0$ )
- Для теплицева прогноза ошибка тем больше, чем  $c$  дальше от единицы
- $c = 1$ .  $L_V$  — минимально возможная,  $L_R \approx 40$
- $c \neq 1$ .  $L_V$  и  $L_R$  — минимально возможные

# Ошибки прогнозов с шумом. $s_n = c^n \cos(2\pi n/10)$ .

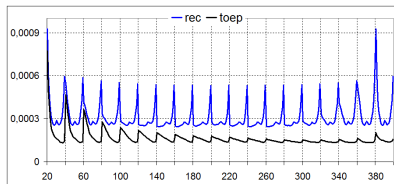


Рис.: Ошибки теплицева и рекуррентного прогнозов  $c = 1$ .

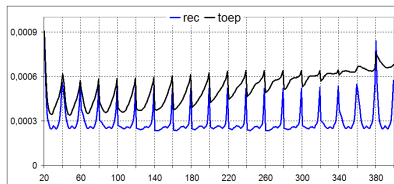


Рис.: Ошибки теплицева и рекуррентного прогнозов  $c = 0.9999$ .

- $c = 1$ . MSE тепл. < MSE рекурр
- $c \neq 1$ . MSE тепл. > MSE рекурр
- Рекуррентный прогноз.  $L_V \approx 200$ ,  $L_R \in (100, 200)$
- Теплицев прогноз.
  - $c = 1$ :  $L_V$  — любая,  $L_R \in (120, 140)$
  - $c = 0.9999$ :  $L_V$  — любая,  $L_R \in (40, 120)$
  - $c = 0.999$ :  $L_V$  — минимальная,  $L_R \approx 40$
- Устойчивые:  $L_V$  — минимальная,  $L_R \approx 200$

# Структура ошибки. $s_n = c^n \cos(2\pi n/10)$

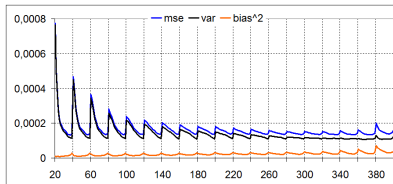


Рис.: Теплицев прогноз.  
 $c = 1$ .

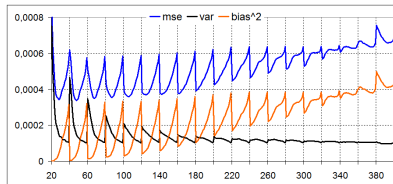


Рис.: Теплицев прогноз.  
 $c = 0.9999$ .

- Теплицев ( $c = 1$ ) и рекуррентный прогнозы ( $c$  — любое),  
 $\text{Bias} \approx 0, \text{MSE} \approx \text{Var}$
- Теплицев прогноз.  $c \neq 1$ ,  $\text{MSE} \approx \text{Bias}$
- Смещение объясняется тем, что для незашумленного модулированного косинуса ошибка прогноза не равна нулю

Пусть:

- $V = (s_{N-L}, \dots, s_{N-1})$
- $V + \Delta V = (\hat{s}_{N-L}, \dots, \hat{s}_{N-1})$
- $A = (a_1, \dots, a_{L-1})$
- $A + \Delta A = (\hat{a}_1, \dots, \hat{a}_{L-1})$

Тогда:

- $s_N = A^T V$
- $\hat{s}_N - s_N = (A + \Delta A)^T (V + \Delta V) - A^T V$

Выделяются два источника ошибок:

- Реальный восстановленный ряд прогнозируется по идеальной ЛРФ ( $A^T \Delta V$ ).
- Идеальный восстановленный ряд прогнозируется по реальной ЛРФ ( $\Delta A^T V$ ).

Два источника ошибок.  $s_n = c^n \cos(2\pi n/10)$   $L_V = 140$

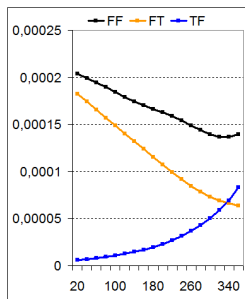


Рис.: Рекуррентный  
прогноз  $c = 1$ .

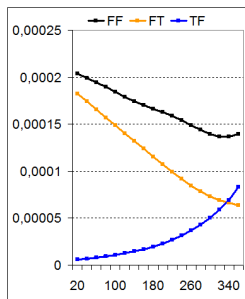


Рис.: Теплицев  
прогноз  $c = 1$ .

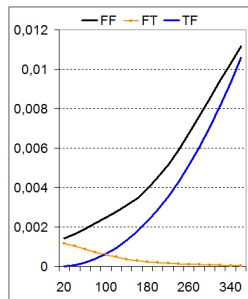


Рис.: Теплицев  
прогноз  $c = 0.9999$ .

- Поведение при разных  $L_V$  одинаково
- TF возрастает. Поведение ошибки проектора
- FT убывает. Поведение побочных корней характеристического полинома

Полученные результаты:

- Были получены результаты относительно асимптотических рангов ковариационных матриц
- При помощи моделирования было проведено сравнение ошибок теплицева и рекуррентного прогнозов
- Сделаны предположения по подбору оптимальных параметров для прогнозов для рассматриваемых рядов.